

Determining the Seasonality of Monthly Rainfall using the Markham Method in the Ardabil Province Rain Gauge Stations

Daddeh, Fatemeh

MA Student, Faculty of Agriculture and Natural Resources, University of Mohaghegh, Ardabili, Iran

Mostafazadeh, Raoof

Assistant Professor, Department of Natural Resources, Faculty of Agriculture and Natural Resources, University of Mohaghegh, Ardabili, Iran

Esmali, Ouri Abazar

Associate Professor, Department of Natural Resources, Faculty of Agriculture and Natural Resources, University of Mohaghegh, Ardabili, Iran

Ghorbani, Ardavan

Associate Professor, Department of Natural Resources, Faculty of Agriculture and Natural Resources, University of Mohaghegh, Ardabili, Iran

Abstract

The spatial and temporal fluctuations of the climatic element of precipitation and severe changes will lead to changes in atmospheric patterns. Therefore, the study of precipitation trends in different time and space scales is considered as a topic of interest in climatology. The purpose of this study was to calculate the seasonal precipitation index, using the Markham method in 28 rain gauge stations of Ardabil province during the 30-year recorded period. In this regard, daily rainfall data were analyzed and the Markham method was used to calculate the mean time of occurrence and the seasonality index (SI) of the components S, C and P_R (average annual rainfall vector). In the next step, the Seasonality Index (SI) obtained from the P_R ratio to the total annual rainfall for all rain gauge stations over the study area. According to the results, the lowest amount of seasonality is related to Sanin and Shamshirkhani stations with a value of 0.18. While the highest seasonality value is calculated for the Sarein Station with a value of 0.39. Based on the seasonal pattern of monthly rainfall values, the mean occurrence time of rainfall of 20 rain gauge stations falls into winter season, and the 6 rain gauge stations experience the highest rainfall during spring season and the 2 remaining stations had a rainy autumn season. Distinguishing seasonality pattern of monthly and seasonal rainfall can be used for the prediction of water balance changes, cultivation timing, and flood/drought events in finer time scales.

Keywords: Ardabil Province, Rainfall, Markham Method, Seasonality Index (SI), Rainfall Temporal Distribution.

فصلنامه علمی برنامه‌ریزی فضایی (جغرافیا)
سال دهم، شماره یکم، (پیاپی ۳۶)، بهار ۱۳۹۹
تاریخ پذیرش: ۹۷/۰۳/۱۳ تاریخ وصول: ۹۸/۰۴/۲۲
صفحه: ۲۹-۴۲

تعیین فصلی بودن بارندگی ماهیانه با استفاده از روش Markham در ایستگاههای باران‌سنگی استان اردبیل

فاطمه داده^۱، رئوف مصطفی زاده^{۲*}، اباذر اسماعلی عوری^۳، اردوان قربانی^۴

- ۱- دانشجوی کارشناسی ارشد، دانشکده کشاورزی و منابع طبیعی، دانشگاه محقق اردبیلی، ایران
- ۲- ستادیار گروه منابع طبیعی، دانشکده کشاورزی و منابع طبیعی، دانشگاه محقق اردبیلی، ایران
- ۳- دانشیار گروه منابع طبیعی، دانشکده کشاورزی و منابع طبیعی، دانشگاه محقق اردبیلی، اردبیل، ایران
- ۴- دانشیار گروه آموزشی منابع طبیعی، دانشگاه محقق اردبیلی

چکیده

نوسانات عنصر اقلیمی بارش از نظر مکانی و زمانی و تغییرات شدید آن به تغییرات الگوهای جوی منجر خواهد شد؛ به همین دلیل بررسی روند بارش در مقیاس‌های مختلف زمانی و مکانی از موضوعات مورد علاقه در اقلیم‌شناسی محسوب می‌شود. در پژوهش حاضر، شاخص فصلی بودن بارش با استفاده از روش Markham در ۲۸ ایستگاه باران‌سنگی استان اردبیل در دوره آماری ۲۰۱۵-۱۴۰۰ محاسبه و توزیع مقادیر بارش در ماههای مختلف ارزیابی شد. در این زمینه داده‌های بارندگی روزانه ایستگاههای باران‌سنگی وزارت نیرو در استان اردبیل به کار رفت؛ سپس براساس روش Markham برای محاسبه متوسط زمان رویداد و شاخص فصلی بودن (SI) از مؤلفه‌های S و C و مقدار P_R (بردار متوسط بارندگی یک ساله)، داده‌های بارندگی روزانه ایستگاههای باران‌سنگی استفاده شد. در ادامه شاخص فصلی بودن (SI) از نسبت P_R به مقدار کل بارندگی سالیانه به دست آمد. براساس نتایج، بیشترین مقدار شاخص فصلی بودن مربوط به ایستگاه سرعین با مقدار 0.39 است؛ در حالی که کمترین مقدار شاخص فصلی بودن مربوط به ایستگاههای سنین و شمشیرخانی با مقدار 0.18 است. همچنین مقدار متوسط زمان رویداد R^* محاسبه شد و براساس نتایج متوسط زمان رویداد، بیست ایستگاه در فصل زمستان، شش ایستگاه در فصل بهار و دو ایستگاه در فصل پاییز است. تعیین توزیع فصلی بارش و تغییرات آن، تأثیر تغییر اقلیم را بر الگوی متغیرهای هیدرولوژیکی ارزیابی و نیز توزیع زمانی بارش در ماهها و فصول مختلف سال، امکان پیش‌بینی تغییر در بیلان آب، تعیین الگوی کشت و در مقیاس زمانی کوچک‌تر پیش‌بینی سیلاب و خشکسالی را فراهم می‌کند.

واژگان کلیدی: استان اردبیل، بارش، روش مرخم (Markham)، شاخص فصلی بودن (SI)، توزیع زمانی بارش

مقدمه

بارش بهمنزه و رودی سیکل هیدرولوژی یشترين نوسانات را در بین سایر عناصر اقلیمی دارد؛ بنابراین یکی از مهم‌ترین مؤلفه‌های اقلیمی که باید بررسی شود، بارش است (فلاح قالهری و یياتانی، ۱۳۹۲: ۳). با توجه به تأثیرات بارندگی بر منابع آب زیرزمینی، ذخایر آب سطحی و برف، استفاده از شاخص‌هایی برای یافتن تغییرات آن ضروری به نظر می‌رسد (خلیلی و همکاران، ۱۳۹۴: ۲۰۹). با درنظرگرفتن افزایش بلایای طبیعی، اطلاع از تغییرات زمانی بارندگی برای مدیریت و برنامه‌ریزی منابع آبی حائز اهمیت است (Bari et al, 2016: 3). تغییرات فصلی بارندگی در هیدرولوژی‌شناسی اهمیت خاصی دارد؛ چون فصلی بودن^۱ کمیت‌های هیدرولوژی دیگر مانند جریان آبراهه‌ها، آب‌های زیرزمینی و دبی را مشخص می‌کند. زمانی که نوسانات بارش شدید باشد، بحران‌هایی از قیل خشکسالی یا سیلاب‌های ناگهانی و شدید به وجود خواهد آمد که در اقلیم نیمه‌خشک ایران آثار آن زیان‌بارتر خواهد بود (امیری، ۱۳۸۶: ۳۲). شاخص‌های فصلی دوره‌ای بعضی از مؤلفه‌ها که به طور منظم در مقیاس‌های روزانه، هفتگی، ماهیانه، سه‌ماهه یا شش‌ماهه روی می‌دهند، بدون استثنای فعالیت‌های اقتصادی تأثیر می‌گذارند. فصلی بودن و قایع اقلیمی کاملاً با سری زمانی اقتصادی، زئوفیزیک و بوم‌شناسی مشترک است (Bose & Sharma, 2013: 147).

آیودا^۲ (۱۹۷۰) و نیوولت^۳ (۱۹۷۴) نخستین تلاش‌های را برای تعیین رژیم‌های بارندگی انجام دادند. والش و لاولر^۴ (۱۹۸۱) یک شاخص اصلاح‌شده را برای فصلی بودن بارندگی پیشنهاد دادند که پیش از این آیودا (۱۹۷۰) ارائه کرده بود. با توجه به تغییرات شدید در مؤلفه‌های چرخه هیدرولوژی در دهه‌های اخیر، مطالعات زیادی درباره تغییرات مختلف هواشناسی و هیدرولوژیکی انجام شده است (Kumar et al, 2009: 174).

آیودا (۱۹۷۰) فصلی بودن بارندگی در نیجریه را بررسی و مشخص کرده است با فاصله‌گرفتن از ساحل، مقدار فصلی بودن افزایش می‌یابد و از سمت جنوب به سمت استوا میزان افزایش فصلی بودن کمتر مشخص و مقادیر فصلی بودن در زامبیا بیش از یک است.

هامیل^۵ (۱۹۷۲) با تجزیه و تحلیل داده‌های بارندگی بزرگی به درک گستره‌های از الگوهای بارندگی این کشور رسید. وی شاخص فصلی بودن را برای این داده‌ها محاسبه و بارندگی بزرگ را غیرفصلی تعیین کرد؛ چون دوره‌ای در شاخص فصلی بودن دیده نشد و مقدار شاخص ۱۰ درصد یا بیشتر به دست آمد.

کومار^۶ (۱۹۷۵) با استفاده از روش برداری مرخم، فصلی بودن بارندگی را در کشور بنگلادش بررسی کرد. این روش امکان مقایسه مستقیم فصلی بودن را در مکان‌های مختلف فراهم می‌کند؛ همچنین در توصیف اقلیم و تغییرات آن در یک مکان اهمیت ویژه‌ای دارد. در این روش درجه فصلی بودن و دوره تمرکز فصلی با توجه به جهت بردار نشان داده شده است. نتایج به دست آمده از تجزیه و تحلیل‌ها، افزایش تاریخی فصلی بودن بارندگی را در شمال شرق بنگلادش و کمترین مقلار شاخص را در شمال غربی، جنوب غربی و جنوب شرقی نشان داد. شرقی‌ترین قسمت شمال شرقی بنگلادش متعلق به رژیم بارندگی زوئن- جولای بوده است؛ در حالی که شمال غرب بنگلادش متعلق به رژیم بارندگی جولای- آگوست است و بقیه قسمت‌های کشور به‌وضوح متأثر از رژیم بارندگی جولای قرار دارد.

والش و لاولر (۱۹۸۱) با استفاده از داده‌های ماهیانه بارندگی ثبت شده در ۱۰۹ ایستگاه باران‌سنجدی بریتانیا، ۲۲۴ ایستگاه باران‌سنجدی در آفریقا و همچنین در مرکز و جنوب آمریکای جنوبی، مقلار شاخص فصلی بودن (SI) را محاسبه کردند. نتایج نشان داد در غرب و شمال کشور بریتانیا

¹- Seasonality

²- Ayoda

³- Nieuwolt

⁴- Walsh & Lawler

⁵- Hamil

⁶- Kumar

مقدار شاخص فصلی بودن به طور واضح افزایش می‌یابد. در شرق کشور ایران، مقدار شاخص فصلی بودن کم است و در غرب این کشور کاهش صریحی را نشان می‌دهد و بارندگی کم در عرض چندین ماه روی می‌دهد. در این پژوهش نسبت شاخص فصلی بودن به شاخص فصلی ویژه ۰/۵ یا کمتر به دست آمد.

در جورج تاون^۱ (گیانا) بررسی شاخص‌های فصلی ویژه در مقایسه با بارندگی سالیانه نشان داد طیف وسیعی مقدار شاخص از سالی به سال دیگر وجود دارد (۰/۸۹-۰/۳۵) و رابطه بین بارندگی سالیانه و درجه فصلی بودن معکوس است؛ با این حال در مناطق دیگر ارتباط مستقیمی بین بارندگی سالیانه و شاخص فصلی بودن وجود دارد. درنهایت این نتیجه به دست آمد که درجه فصلی بودن بارندگی آفریقا نسبت به سایر قاره‌ها با عرض جغرافیایی رابطه مستقیمی دارد و صحرای بزرگ آفریقا بیشترین مقدار شاخص فصلی بودن را دارد. شاخص فصلی بودن بارندگی در شمال کشور مقدار زیاد، در مناطق حاره‌ای مقدار کم و افزایش دوباره در مناطق معتدل شمالی را نشان می‌دهد. برونیکوفسکی و وب^۲ (۱۹۹۶) با هدف ارزیابی تغییرپذیری بارش دریافتند شاخص شانون به منظور تعیین پراکنش بارش نسبت به شاخص‌های سیمپسون و برگر-پارک مناسب‌تر است و این شاخص حساسیت‌پذیری زیادی را در رژیمهای مختلف بارش از خود نشان می‌دهد.

انکازوچ و همکاران^۳ (۲۰۰۰) براساس تحلیل آماری، میانگین بارش ماهیانه و حداکثر بارش روزانه شهر بلگراد را بررسی کردند و نشان دادند در تمام ماههای سال به استثنای می، زوایی و زوئن، فراوانی حداکثر بارش روزانه در بازه ۱۰ تا ۲۰ میلی‌متر بیشتر است. استانفورد و همکاران^۴ (۲۰۰۰) روند ۵۰ ساله دما و بارش آلسکارا به دست آورده و نشان دادند بارش تابستانه در سیاری از ایستگاهها افزایش یافته است.

سامنر و همکاران^۵ (۲۰۰۱) با تجزیه و تحلیل مقادیر بارندگی ماهیانه در دسترس ساحل شرقی و جنوبی اسپانیا برای ۴۱ منطقه در دوره زمانی ۱۹۷۶-۱۹۹۳، پراکندگی مکانی بارندگی را با استفاده از شاخص فصلی بودن با روش والش و لاولر^۶ بررسی کردند و به این نتیجه رسیدند که فصلی بودن در جنوب (آنالوسیا)^۷، اطراف ارتفاعات کاتالویی^۸ واقع در شرق و مقدار کمی در مناطق کوچک‌ترین آنها افزایش می‌یابد. تومویز و همکاران^۹ (۲۰۰۲) نوسان‌های بارش زمستانه ۴۰ ایستگاه باران‌سنجدی را در ایتالیا بررسی کردند. تاییج نشان داد تقریباً بارش تمام ایستگاههای مطالعه شده روند کاهشی چشمگیری در فصل زمستان داشته است.

پریور و شوف^{۱۰} (۲۰۰۸) تغییرات بارندگی فصلی را در طول دوره آماری ۳۰ ساله (۱۹۷۱-۲۰۰۰) با استفاده از داده‌های ثبت‌شده در خارج از ایلات متحده تجزیه و تحلیل کردند. آنها با محاسبه شاخص فصلی بودن (SI) به این نتیجه رسیدند که متوسط شاخص فصلی بودن در بیشتر ایستگاهها تفاوتی ندارد.

گوهاتکرتا و ساجی^{۱۱} (۲۰۱۲) داده‌های بارندگی بیش از صد سال (۱۹۰۱-۲۰۰۶) ماهاراشترا^{۱۲}، استانی بزرگ در بخش غربی هند با نقشی کلیدی در صنعت و کشاورزی، را بررسی کردند. تجزیه و تحلیل‌ها شامل متغیر بارندگی، روند الگوهای بارندگی و تغییرات الگوی مکانی و

¹- Georgetown

²- Bronikowski and Webb

³- Unkasevic et al

⁴- Stafford

⁵- Sumner

⁶- Walsh and Lawler

⁷- Andalusia

⁸- Catalonia

⁹- Tomozeiu

¹⁰- Pryor & Schoof

زمانی شاخص فصلی بودن است. آنها با تجزیه و تحلیل شاخص فصلی بودن، توزیع بارندگی در بین ماههای مختلف و درجات مختلفی از رژیم بارندگی را شرح دادند. نتایج نشان داد در مناطق ساحلی مقدار شاخص SI بیشتر از $1/2$ است که رگبار و بارانهای شدید را نشان می‌دهد و بیشترین بارش باران در یک یا دو ماه روی می‌دهد. در بخش شرقی و غربی (فقط در شرق منطقه کنکن^۳) مقدار شاخص SI بین 1 و $1/2$ است که یک رژیم بارندگی را نشان می‌دهد و بیشترین بارندگی در سه ماه یا کمتر رخ می‌دهد. بخش مرکزی ایالت رژیم بارندگی فصلی و چهار ماه یا فصل بارانی دارد که برای کشاورزی مناسب است.

گوهاتکورتا و ساجی (۲۰۱۳) در مطالعه‌ای دیگر با استفاده از داده‌های بارندگی ماهیانه و فصلی در طول دوره آماری ۶ ساله (۱۹۹۱-۲۰۰۶) تغییرات طولانی مدت فصلی بودن بارندگی را در استان ماهاراشترا در شمال غربی شبۀ جزیرۀ هندوستان بررسی کردند. نتایج تغییرات معناداری را در بارندگی ماهیانه در مقیاس منطقه‌ای نشان داد.

مثبت و همکاران^۴ (۲۰۱۵) براساس داده‌های روزانه و متوسط بارندگی ماهیانه در مدیترانه شرقی، شاخص فصلی بودن (SI) و فصلی ویژه (SI_1) را بررسی کردند. آنها براساس تحلیل‌های آماری دریافتند بین مقدار شاخص فصلی بودن (SI) و عرض جغرافیایی همبستگی خطی معناداری وجود دار؛ علاوه بر این روند مثبت معناداری در مقدار SI در پیش از نیمی از ایستگاههای باران‌سنجدی دیده شد. پاتیل^۵ (۲۰۱۵) با استفاده از داده‌های بارندگی ۳۲ سال (۱۹۸۱-۲۰۱۲) در ۱۰ ایستگاه سنگالی هند در منطقه ماهاراشтра، مقدار شاخص فصلی بودن را در ماههای مختلف سال محاسبه کرد؛ مقدار شاخص در مناطق مختلف سنگالی برای کل ماهها در بازه $0/87$ تا $0/04$ به دست آمد. نتایج نشان داد یک فصل خشک طولانی وجود دارد و بیشتر بارندگی ها در سه ماه یا کمتر و در دوره موسمی روی داده است. مقدار شاخص برای فصل‌های موسمی محاسبه شد که از $0/0665$ تا $0/03519$ متغیر بوده است. درنهایت مشخص شد بارندگی گسترده با یک فصل مرتبط مشخص در کل سال روی داده است.

باری و همکاران^۶ (۲۰۱۶) شاخص فصلی بودن بارش (SI) و متوسط شاخص فصلی ویژه (SI_1) را برای آمار بارندگی کشور بنگلادش محاسبه کردند. نتایج تغییرات غیرمعناداری را در فصلی بودن بارندگی برای این منطقه نشان داد. در این پژوهش از شاخص فصلی بودن برای درک فصلی بودن متغیرهای اقلیمی استفاده شد. مقادیر شاخص فصلی کم و نزدیک به صفر، توزیع یکنواخت ماهیانه متغیر بررسی شده را نشان می‌دهد. هرچه مقدار شاخص به حدود 1 تا $1/83$ نزدیک‌تر می‌شود، فصلی بودن و توزیع غیریکنواخت متغیر بررسی شده را در ماههای سال نشان می‌دهد (Markham, 1970; Walsh & Lawler, 1981: 203).

مصطفی زاده و همکاران (۱۳۹۶) تغییرات زمانی و مکانی بارش ماهیانه را در استان گلستان به کمک بعد فرکالی تحلیل کردند و نتیجه گرفند تغییرات درصد وقوع ماههای دوره پرباران و کم باران در یک دامنه 11 درصدی است. با استفاده از مقادیر بعد فرکالی ویژگی‌های رژیم بارندگی ایستگاهها تعیین شد و بر این اساس در منطقه مطالعاتی دوره‌های خشک شدت و قوع کمتری نسبت به دوره‌های مرتبط دارد.

هدف پژوهش حاضر، محاسبه شاخص فصلی بودن (SI) بارش ماهیانه و متوسط زمان رویاد با استفاده از روش Markham در ۲۸ ایستگاه باران‌سنجدی استان اردبیل است. پژوهش حاضر برای دستیابی به پاسخ پرسش‌های زیر برنامه‌ریزی شده است:

۱- شاخص فصلی بودن در کدامیک از ایستگاههای باران‌سنجدی استان بیشتر است؟

¹- Guhathakurta & Saji

²- Maharashtra

³- Konkan

⁴- Mathbout

⁵- Patil

⁶- Bari

- ۲ پیشترین بارش براساس شاخص فصلی در کلامیک از ماهها یا فصول سال روی می‌دهد؟
- ۳ شاخص فصلی بودن بارش در ایستگاهها در طول زمان تغییری داشته است یا خیر؟
 - در این زمینه فرضیات زیر مدنظر قرار گرفته است:
 - ۱ با استفاده از شاخص مرخم تفاوت فصلی بودن بارش در ایستگاهها متمایز می‌شود.
 - ۲ توالی و تداوم وقوع بارش‌ها در ماهها و فصل‌های مختلف سال تعیین‌کننده غالب بودن بارش است.
 - ۳ شاخص فصلی بودن در طول دوره آماری موجود به گونه‌ای تغییر یافته که توزیع بارش در ماهها و فصول مختلف را غیریکنواخت کرده است.

مبانی نظری پژوهش

در سال‌های اخیر به دلیل نامتعادل بودن شرایط آب و هوایی و تغییرات اقلیمی، مطالعه ویژگی‌های بارندگی در مرکز توجه قرار گرفته است (Goudie, 1983: 137) (Asimakopoulos & Livada, 2005: 157). طی صد سال گذشته تغییرات زیادی در بارندگی سالیانه صورت گرفته (Walsh & Stoddart, 1975: 4). ارزیابی فصلی بودن بارندگی بر تعیین وضعیت فصل خشک و مرطوب در دوره‌های مشخص تأکید می‌کند. به طور کلی پذیرفته شده دوره خشک، دوره‌ای است که در آن آب در دسترس (ییلان آبی) برای نیازهای گیاهان ناکافی و تبعیریش از بارندگی است. رطوبت و خشکی وابسته به آب و هواست که زیر یک آستانه بارندگی قرار می‌گیرند (Lawler & Walsh, 1981: 203).

تعییرات فصلی درواقع تعیین سری‌های زمانی فعالیت‌های قابل پیشگویی و مکرر است که در یک سال یا کمتر روی می‌دهند (Sharma, 2013: 146). جکسون^۱ (1974) و نیوولت^۲ (1974)، فصلی بودن بارندگی را در دوره‌های کیفی تشریح کردند.

فصلی بودن بارندگی به درجه‌ای از تغییرات بارندگی ماهیانه در طول سال اطلاق می‌شود (Lawler & Walsh, 1981: 204). بررسی فصلی بودن درواقع مقایسه مقدار بارندگی در فصل‌های مرطوب و خشک است (Livada et al, 2005: 158). نخستین تلاش‌ها در بررسی فصلی بودن بارندگی در سال ۱۹۷۰ انجام گرفت (Lawler & Walsh, 1981: 202; Nieuwolt, 1974: 189). پس از آن والش و لاولر در سال ۱۹۸۱ شاخص فصلی بودن (SI) را ارائه کردند. بعدها لیوادا و آسمیاکوپولوس^۳ در سال ۲۰۰۵ تلاش‌های گسترده‌ای برای اصلاح این شاخص انجام دادند.

روش شناسی پژوهش

روش پژوهش

به منظور آشکارسازی تغییرات فصلی بارندگی در منطقه پژوهش از داده‌های بارندگی روزانه ۲۸ ایستگاه باران‌سنجدی شرکت آب منطقه‌ای استان اردبیل طی دوره ۱۳۹۰ تا ۱۳۹۱ استفاده شد که مشخصات آنها در جدول ۱ ارائه شده است. بدین منظور نخست داده‌های روزانه

¹- Jakson

²- Nieuwolt

³- Livada and Asimakopoulos

گردآوری و طول دوره بارندگی برای هرسال مشخص شد. در مرحله بعد طول دوره آماری متفاوت ایستگاهها که عمدهاً مربوط به تأسیس آنها در سال‌های مختلف بوده است، به یک پایه زمانی مشترک تبدیل شد.

جدول ۱- ویژگی‌های ایستگاه‌های باران‌سنجدی منتخب در طول دوره آماری ۱۳۶۰ تا ۱۳۹۱

| موقعیت جغرافیایی | | | نام ایستگاه | ردیف | موقعیت جغرافیایی | | | نام ایستگاه | ردیف |
|------------------|-------|-------|-------------|------|------------------|-------|-------|-------------|------|
| Z | Y | X | | | Z | Y | X | | |
| ۱۷۴۰ | ۳۸/۸۶ | ۴۸/۲۱ | سیاهپوش | ۱۵ | ۱۳۵۱ | ۳۸/۲۶ | ۴۸/۰۵ | آبی بیکلو | ۱ |
| ۱۵۰۷ | ۳۸ | ۴۸/۲۳ | شمس‌آباد | ۱۶ | ۱۷۷۱ | ۳۸/۲ | ۴۸/۰۵ | آتشگاه | ۲ |
| ۲۱۶۰ | ۳۸/۲۶ | ۴۸ | شمیرخانی | ۱۷ | ۱۳۴۶ | ۳۸/۲۸ | ۴۸/۰۸ | آلاذیزگه | ۳ |
| ۱۴۰۲ | ۳۸/۱۱ | ۴۸/۳۶ | کوزه‌تپراقی | ۱۸ | ۱۵۲۴ | ۳۸/۳۶ | ۴۸/۱ | ابریکو | ۴ |
| ۱۳۲۲ | ۳۸/۳ | ۴۸/۳۵ | گیلانده | ۱۹ | ۱۳۷۴ | ۳۸/۳۶ | ۴۸/۰۱ | اردبیل | ۵ |
| ۲۰۳۹ | ۳۸/۱ | ۴۷/۹ | لای | ۲۰ | ۱۶۰۷ | ۳۸/۴۳ | ۴۸/۲۸ | بقرآباد | ۶ |
| ۲۵۰۴ | ۳۸ | ۴۸/۵۵ | نور | ۲۱ | ۱۴۸۰ | ۳۸/۱۳ | ۴۸/۰۵ | الماس | ۷ |
| ۱۳۹۹ | ۳۸/۴ | ۴۸/۴۶ | نمین | ۲۲ | ۲۰۷۶ | ۳۸/۱۵ | ۴۸/۱۸ | تکبلاع | ۸ |
| ۱۴۲۷ | ۳۸/۲۵ | ۴۸/۶۱ | نیرق | ۲۳ | ۱۷۶۰ | ۳۸/۰۶ | ۴۸/۳۵ | خوش‌آباد | ۹ |
| ۱۶۲۳ | ۳۸/۰۳ | ۴۸/۰۱ | نیر | ۲۴ | ۱۹۶۵ | ۳۸/۲ | ۴۸/۰۱ | سنین | ۱۰ |
| ۱۷۷۹ | ۳۸/۹۳ | ۴۸/۴۱ | هیل‌آباد | ۲۵ | ۱۳۲۴ | ۳۸/۳۶ | ۴۸/۲۳ | سامیان | ۱۱ |
| ۱۶۰۳ | ۳۸/۰۶ | ۴۸/۵ | هیر | ۲۶ | ۱۵۱۷ | ۳۸/۰۶ | ۴۸/۲۸ | سد قوری چای | ۱۲ |
| ۱۵۹۴ | ۳۸/۰۳ | ۴۸/۰۳ | یامچی | ۲۷ | ۱۶۹۲ | ۳۸/۱۵ | ۴۸/۰۶ | سرعین | ۱۳ |
| ۱۹۰۰ | ۳۷/۵ | ۴۸/۰ | تونسین | ۲۸ | ۱۹۶۰ | ۳۷/۴ | ۴۸/۱۱ | گلی | ۱۴ |

شاخص فصلی بودن از تقسیم قدر مطلق تفاصل متوسط بارندگی‌های ماهیانه و میانگین کل بارندگی ماهیانه بر میانگین بارندگی سالیانه به دست می‌آید (patil, 2015: 3).

$$\bar{SI} = \frac{1}{\bar{R}} \sum_{n=1}^{12} \left| \bar{x}_n - \frac{\bar{R}}{12} \right| \quad (1)$$

\bar{R} ، متوسط بارندگی سالیانه و \bar{x}_n ، متوسط بارندگی ماه $n^{\text{م}}$ است (Bari et al, 2016: 4).

این شاخص تعریف از فصلی بودن بارندگی را در اختیار می‌گذارد که ابزار مناسبی برای مطالعه تغییرات زمانی و مکانی در فصلی بودن است (Sumner et al, 2001: 232). شاخص فصلی بودن این مزیت را دارد که محاسبه آن به راحتی انجام می‌گیرد و برای داده‌ها و متغیرهای هیدرولوژیکی که به صورت ماهیانه ثبت می‌شوند، مانند دما، دبی رودخانه و تبخیر امکان استفاده دارد (Lawler & Walsh, 1981: 202). شاخص فصلی بودن در نظریه تغییرات از صفر (اگر تمام ماهها برابر بارندگی باشد) تا ۱/۸۳ درجه از فصلی بودن (اگر تمام بارندگی‌ها در یک ماه باشد) را

والش و لاولر (۱۹۸۱) پیشنهاد داده‌اند. همچنین در این زمینه جدولی را به صورت زیر براساس مقادیر مختلف شاخص فصلی بودن و رژیم بارندگی ارائه کرده‌اند.

جدول ۲ - مقادیر طبقه‌بندی شده شاخص فصلی بودن (Lawler, 1981: 203 & Walsh)

| رژیم بارندگی | محدوده مقدار SI |
|---|-----------------|
| بسیار یکنواخت | $\leq 0/19$ |
| یکنواخت، اما با یک فصل مرطوب مشخص | $0/20 - 0/39$ |
| نسبتاً یکنواخت با یک فصل خشک کوتاه | $0/40 - 0/59$ |
| کاملاً فصلی | $0/60 - 0/79$ |
| فصلی بودن به‌طور محسوس با یک فصل خشک طولانی مدت | $0/80 - 0/99$ |
| بیشتر بارندگی در ۳ ماه یا کمتر | $1 - 1/19$ |
| شدید، معمولاً بارندگی در ۱ یا ۲ ماه | $\geq 1/20$ |

شاخص فصلی بودن در واقع میزان تغییرات بارش بارندگی ماهیانه را در طول سال اندازه‌گیری می‌کند. بدون توجه به توزیع زمانی بارندگی ماهیانه، رژیم‌های مختلف مقادیر SI مشابهی را ارائه می‌دهند؛ با این حال در عمل، حتی در مناطقی با دو یا سه اوج بارش باران، شاخص نشان‌دهنده خوبی از فصلی بودن بارندگی است. برای غلبه بر مشکل توزیع زمانی بارندگی ماهیانه، مرخم^۱ (۱۹۷۰) یک شاخص فصلی بودن را براساس یک بردار به دست آورد (که از آن زمان هامیل^۲ (۱۹۷۲) استفاده کرده است؛ اما علاوه بر سختی محاسبه، زمانی که با رژیم‌های دوگانه یا سه‌گانه برخورد می‌کند، مقادیر بی‌معنی ظاهر می‌شوند).

مشکل دیگر به استفاده از میانگین ماهیانه و میانگین سالیانه بارش در محاسبه شاخص‌های فصلی بودن مربوط است. با استفاده از این نوع داده‌ها، شاخص‌ها فقط رژیم بارندگی متوسط را توصیف می‌کنند و هیچ نشانه‌ای از فصلی بودن بارندگی سالیانه و رژیم بارندگی متوسط ارائه نمی‌دهند. همچنین واحد ماهیانه بیش از حد بزرگ است و شاخص برای داده‌های مجموع پنج روز متولی مناسب است؛ به ویژه در مناطقی که در آنها فصل فقط چند هفته طول می‌کشد؛ با این حال داده‌های روزانه بارندگی لازم همیشه در مناطق گرمسیری موجود نیست و نیوولت (۱۹۷۴) با استفاده از داده‌های تانزانیا نشان داد ماهیت ماهیانه با وجود محدودیت‌های آن، همچنان واحد مناسبی Walsh, 1981:³ برای محاسبه شاخص فصلی بودن است و تصویر واقع‌بینانه از توزیع بارندگی فصلی ایجاد می‌کند (Lawler & 204

¹- Markham

²- Hamil

در این پژوهش برای محاسبه متوسط زمان رویداد و شاخص فصلی بودن، مقادیر S و C براساس روابط زیر محاسبه شد:

$$S = \sum_{m=1}^{12} P_m \sin(\varphi_m) \quad (1)$$

$$C = \sum_{m=1}^{12} P_m \cos(\varphi_m) \quad (2)$$

مقدار بارندگی دوازدهماهه P_m زاویه‌های زمانی دوازدهماهه است که در جدول ۳ آمده است؛ سپس با استفاده از رابطه ۳، مقدار P_R ، بردار متوسط بارندگی یکساله، محاسبه شد:

$$P_R = (S^2 + C^2)^{1/2} \quad (3)$$

جدول ۳- زاویه‌های زمانی ۱۲ماهه برای محاسبه شاخص فصلی بودن

| ماه | مهر | شهریور | شهریور | مهر | تیر | خرداد | اردیبهشت | فروردین | اسفند | بهمن | دی | دی | آذر | آبان | مهر | ماه |
|--------------|-------|--------|--------|-------|------|-------|----------|---------|-------|------|------|------|-------|-------|--------------|-----|
| روز از سال | ۱۵ | ۳۵۰ | ۳۱۹ | ۲۸۸ | ۲۵۷ | ۲۲۶ | ۱۹۵ | ۱۶۴ | ۱۳۵ | ۱۰۵ | ۷۵ | ۴۵ | ۱۵ | ۱۵ | روز از سال | |
| زاویه (درجه) | ۱۴/۷۹ | ۳۴۵ | ۳۱۵ | ۲۸۴/۱ | ۲۵۳ | ۲۲۳ | ۱۹۲ | ۱۶۲ | ۱۳۳ | ۱۰۴ | ۷۴ | ۴۴/۴ | ۱۴/۷۹ | ۱۴/۷۹ | زاویه (درجه) | |
| رادیان | ۰/۲۵۸ | ۶/۰۲ | ۵/۴۹ | ۴/۹۵۸ | ۴/۴۲ | ۳/۸۹ | ۲/۳۶ | ۲/۸۲ | ۲/۳۲ | ۱/۸۱ | ۱/۲۹ | ۰/۷۷ | ۰/۲۵۸ | ۰/۲۵۸ | رادیان | |

شاخص فصلی بودن نسبتی از P_R (بردار متوسط بارندگی یکساله) به مقدار کل بارندگی سالیانه (محاسبه مقدار کل دوازده ماه) است.

$$\text{Seasonality Index(SI)} = \left(\frac{P_R}{T_P} \right) \quad (4)$$

T_P ، مقدار کل بارندگی سالیانه است. مقدار شاخص فصلی بودن (SI) از صفر تا ۱/۲ متغیر است که عدد صفر غیرفصلی بودن و توزیع یکنواخت ماهیانه در کل سال و همچنین مقدار ۱/۲، وقوع کل مقادیر بارندگی را در یک ماه نشان می‌دهد (Markham, 1970: 594).

همچنین با استفاده از روابط ۵ تا ۹، مقادیر φ'_R ، متوسط زمان رویداد، محاسبه شد:

$$\varphi'_R = \tan^{-1} \left(\frac{S}{C} \right) \quad (5)$$

$$S > 0 \quad \varphi'_R \geq 0 \quad \varphi'_R = \frac{\pi}{2} \quad (6) \quad (7)$$

$$C < 0 \quad \varphi'_R = \varphi'_R + 180^\circ \quad (8)$$

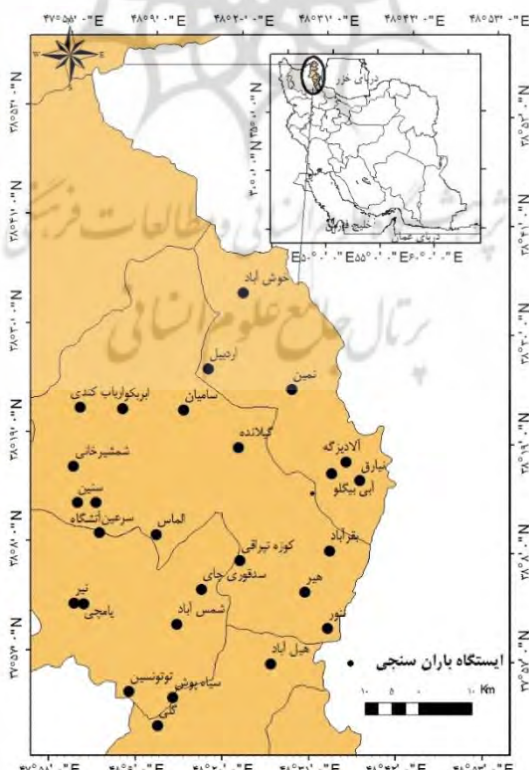
$$S < 0, C > 0 \varphi_R = \varphi'_R + 360^\circ \quad (4)$$

R' ، ماه را به هر رخدادی تبدیل می‌کند. در ادامه، تغییر در مقادیر شاخص فصلی بودن بارش ماهیانه محاسباتی با استفاده از آزمون ناپارامتریک من-کنдал و نرم‌افزار MAKSENS تعیین شد.

معرفی محدوده پژوهش

استان اردبیل در شمال غرب ایران واقع شده و مساحت آن ۱۷۹۵۳ کیلومترمربع است. این استان از لحاظ جغرافیایی در $۴۹^{\circ} ۳۷^{\prime}$ تا $۴۲^{\circ} ۳۹^{\prime}$ عرض شمالی و $۳۰^{\circ} ۵۵^{\prime}$ تا $۴۸^{\circ} ۴۷^{\prime}$ طول شرقی از نصف النهار گرینویچ در شمال غرب ایران قرار گرفته و از شمال با جمهوری آذربایجان، از شرق با استان گیلان، از جنوب با استان زنجان و از غرب با استان آذربایجان شرقی محدود شده است. حدود دو سوم استان اردبیل بافت کوهستانی با اختلاف ارتفاع زیاد دارد و بقیه را مناطق هموار و پست تشکیل می‌دهند؛ به طوری که شمال استان (مغان) با ارتفاع کم، آب و هوای نسبتاً گرم و مناطق مرکزی و جنوبی، آب و هوای کوهستانی سرد دارد. براساس گزارش ایستگاه هواشناسی اردبیل، میانگین دمای ایستگاههای استان از $۶/۵$ تا ۱۵ درجه سانتی گراد متغیر است. میزان بارش جوی در استان به طور متوسط بین ۲۵۰ تا ۶۰۰ میلی متر در نوسان است. دو فصل بهار و زمستان، فصل‌های بارندگی منطقه هستند و بیشترین بارندگی‌ها در بهار دیده می‌شود.

براساس آمار اداره هواشناسی استان اردبیل، فصل پاییز از نظر بارندگی پس از بهار و زمستان در رتبه سوم قرار دارد. موقعیت ایستگاههای بارانسنجی استان اردبیل در شکل ۱ ارائه شده است.



شکل ۱- موقعیت ایستگاههای پارانسنجی در استان اردبیل

تجزیه و تحلیل یافته‌های پژوهش

براساس روابط ارائه شده، مقدار متوسط شاخص فصلی بودن و متوسط زمان رویداد برای هریک از ایستگاهها در طول دوره آماری محاسبه شد که نتایج در جدول ۴ ارائه شده است.

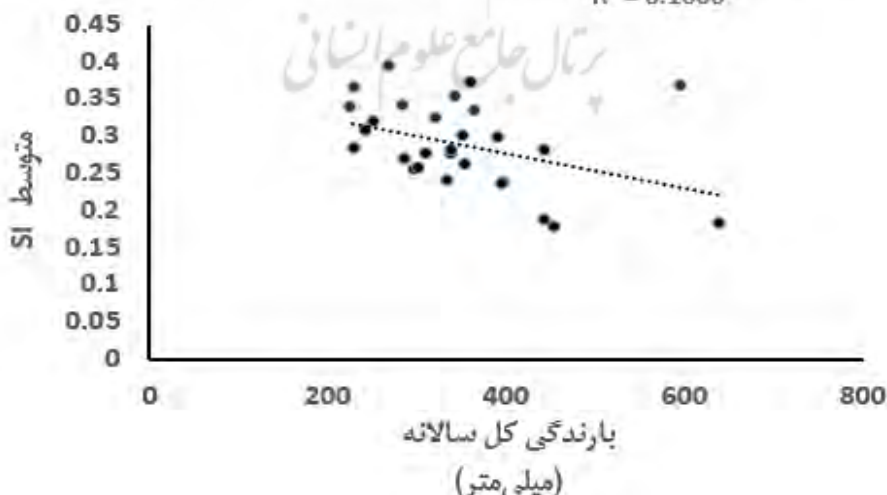
جدول ۴- متوسط شاخص فصلی بودن و زمان رویداد برای ایستگاههای باران‌سنگی استان اردبیل در دوره آماری

| فصل وقوع بارندگی (φ'_R) | SI متوسط | ایستگاه | ردیف | فصل وقوع بارندگی (φ'_R) | SI متوسط | ایستگاه | ردیف |
|---|-------------|-------------|------|---|-------------|----------|------|
| زمستان | ۰/۳۴ | شمس‌آباد | ۱۵ | زمستان | ۰/۲۷ | پل الماس | ۱ |
| زمستان | ۰/۱۸ | شمیرخانی | ۱۶ | بهار | ۰/۲۸ | سامیان | ۲ |
| بهار | ۰/۳۴ | کوزه تپراقی | ۱۷ | زمستان | ۰/۲۵ | ابربکو | ۳ |
| زمستان | ۰/۳۷ | گلی | ۱۸ | زمستان | ۰/۳۰ | هیر | ۴ |
| زمستان | ۰/۳۱ | گیلاندہ | ۱۹ | پاییز | ۰/۱۹ | آتشگاه | ۵ |
| بهار | ۰/۳۳ | لای | ۲۰ | زمستان | ۰/۳۶ | اردبیل | ۶ |
| بهار | ۰/۳۲ | سد قوری چای | ۲۱ | پاییز | ۰/۲۴ | آلاذیزگه | ۷ |
| زمستان | ۰/۲۷ | نمین | ۲۲ | زمستان | ۰/۳۰ | بقرآباد | ۸ |
| زمستان | ۰/۲۳ | پیارق | ۲۳ | زمستان | ۰/۲۸ | تکبولاغ | ۹ |
| زمستان | ۰/۳۲ | خوش‌آباد | ۲۴ | بهار | ۰/۲۶ | توتونسین | ۱۰ |
| زمستان | ۰/۳۵ | نور | ۲۵ | بهار | ۰/۲۴ | نیر | ۱۱ |
| زمستان | ۰/۲۷ | هل آباد | ۲۶ | زمستان | ۰/۳۹ | سرعین | ۱۲ |
| زمستان | ۰/۲۵ | آبی بیکلو | ۲۷ | زمستان | ۰/۳۷ | سیاه‌پوش | ۱۳ |
| زمستان | ۰/۲۸ | یامچی | ۲۸ | زمستان | ۰/۱۸ | سنین | ۱۴ |

براساس نتایج جدول ۴ بیشترین مقدار شاخص فصلی بودن مربوط به ایستگاه سرعین در سال ۱۳۷۱ با مقدار (۰/۳۹) و کمترین مقدار شاخص مربوط به ایستگاههای سنین و شمیرخانی در سال ۱۳۷۳ با مقدار ۰/۱۸ است.

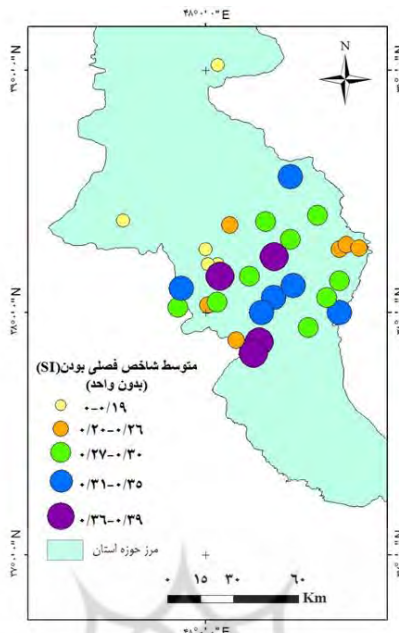
$$y = -0.0002x + 0.3714$$

$$R^2 = 0.1666$$



شکل ۲- ارتباط مقدار شاخص فصلی بودن (SI) و بارندگی سالیانه در ایستگاههای منتخب استان اردبیل

همان‌طور که در شکل ۲ نشان داده شده است، مقدار شاخص فصلی بودن (SI) با افزایش بارندگی کاهش می‌یابد. الگوی تغییرات شاخص فصلی بودن (SI) در حوزه استان اردبیل در شکل ۳ ارائه شده است.



شکل ۳- تغییر مقادیر شاخص فصلی بودن (SI) در حوزه استان اردبیل

نتایج آزمون من-کن达尔 برای تعیین روند در مقادیر شاخص فصلی بودن در جدول ۵ ارائه شده است.

جدول ۵- نتایج روند مقادیر شاخص فصلی بودن داده‌های بارندگی ماهیانه با آزمون روند من-کن达尔

| سطح معناداری | Z | ایستگاه | ردیف | سطح معناداری | Z | ایستگاه | ردیف |
|--------------|-------|-------------|------|--------------|-------|-----------|------|
| ns | -1/74 | شمس آباد | ۱۵ | ns | -۰/۷۰ | پل الماس | ۱ |
| ns | ۱/۵۳ | شمیرخانی | ۱۶ | ns | ۰/۱۸ | سامیان | ۲ |
| ns | -۰/۹۲ | کوزه تبراقی | ۱۷ | ns | ۰/۶۶ | ابریکو | ۳ |
| - | - | گلی | ۱۸ | ns | -۱/۶۶ | آبی بیگلو | ۴ |
| ns | -۰/۱۱ | گیلاندہ | ۱۹ | ns | ۰/۴۰ | آتشگاه | ۵ |
| ns | -۰/۳۶ | لای | ۲۰ | ns | -۰/۰۹ | اردبیل | ۶ |
| * | -۱/۹۸ | سد قوری چای | ۲۱ | ns | -۱/۱۹ | آلاذرگه | ۷ |
| ns | -۰/۴۴ | نمین | ۲۲ | ns | ۰/۷۷ | بقر آباد | ۸ |
| ns | ۱/۰۳ | نیارق | ۲۳ | ns | -۱/۶۴ | تکبولاغ | ۹ |
| ns | -۰/۶۸ | نیر | ۲۴ | - | - | توتونسین | ۱۰ |
| ns | -۰/۱۳ | نهور | ۲۵ | ns | -۰/۸۸ | خوش آباد | ۱۱ |
| ns | -۰/۲۲ | هل آباد | ۲۶ | ns | ۰/۲۱۴ | سرعین | ۱۲ |
| ns | -۰/۷۸ | هیر | ۲۷ | ** | -۳/۱۵ | سیاه پوش | ۱۳ |
| ns | -۱/۶۱ | یامچی علیا | ۲۸ | ns | ۰/۷۷ | سنین | ۱۴ |

* وجود روند در سطح ۹۵ درصد، ** وجود روند در سطح ۹۹ درصد، :- فاقد جواب به دلیل تعداد داده کم، ns: بدون روند معنادار

براساس نتایج جدول ۵، تغییرات مقادیر شاخص فصلی بودن بارش فقط در دو ایستگاه سیاهپوش و سد قوری چای روند کاهشی معنادار دارد و در بقیه ایستگاهها این مقادیر بدون روند معنادار است.

نتیجه‌گیری

تعیین فصلی بودن بارندگی ماهیانه، وضعیت فصل خشکی و رطوبت را تعیین می‌کند که برای مدیریت و برنامه‌ریزی منابع آبی حائز اهمیت است. در پژوهش حاضر فصلی بودن بارندگی ماهیانه ۲۸ ایستگاه باران‌سنگی واقع در استان اردبیل به روش Markham ارزیابی شده است. براساس مقادیر شاخص فصلی بودن، میان رژیم بارندگی بین ایستگاهها تفاوت وجود دارد که قابلیت روش Markham در تعیین ویژگی فصلی بودن داده‌ها از آن جمله است. در این زمینه کومار (۱۹۷۵) نیز به کارایی روش برداری Markham در مقایسه فصلی بودن و توصیف تغییرات اقلیمی در مکان‌های مختلف اشاره کرده است.

براساس نتایج به دست آمده در جدول ۴، مقدار شاخص فصلی بودن مقادیر بارندگی بین ۰/۱۸ تا ۰/۳۹ است. براساس جدول ۲ که والش و لاولر (۱۹۸۱) ارائه کرده‌اند، این مقدار شاخص، رژیم بارندگی یکنواخت را با یک فصل مرطوب مشخص نشان می‌دهد. در این زمینه گوهاتاکورتا و ساجی (۲۰۱۲) با تجزیه و تحلیل بارندگی به این نتیجه رسیدند که در مناطق ساحلی ماهاراشترا مقدار شاخص SI بیشتر از ۱/۲ است که رگبار و باران‌های شدید را نشان می‌دهد و بیشترین بارش باران در یک یا دو ماه روی می‌دهد. همچنین پاتیل (۲۰۱۵) مقدار شاخص SI را در مناطق مختلف سنگالی برای کل ماهها در بازه ۰/۸۷ تا ۱/۰۴ به دست آورد و مقدار شاخص را برای فصل‌های موسومی محاسبه کرد که مقدار آن از ۰/۰۶۶ تا ۰/۳۵۱۹ متغیر بوده است. درنهایت مشخص شد بارندگی گسترده با یک فصل مرطوب مشخص در کل سال روی داده است.

هامیل (۱۹۷۲) براساس مقادیر شاخص فصلی بودن، بارش بزرگی را از نوع غیرفصلی دانسته که با الگوی متفاوت بارندگی، موقعیت جغرافیایی یا منشأ بارندگی‌ها مرتبط است.

در جدول ۴ نتایج محاسبه متوسط زمان رویداد بارندگی ارائه شده است. براساس نتایج به دست آمده از ۲۸ ایستگاه باران‌سنگی مطالعه شده، متوسط زمان رویداد، بیست ایستگاه در فصل زمستان، شش ایستگاه در فصل بهار و فقط دو ایستگاه در فصل پاییز است که توزیع فصلی مقادیر بارش ماهیانه را در منطقه پژوهش نشان می‌دهد و با رژیم بارش منطقه متأثر از عوامل ایجاد بارش مرتبط است. نمودار تغییرات مقدار شاخص فصلی بودن و بارندگی در شکل ۲ ارائه شده است. با توجه به نتایج شکل ۲ با افزایش بارندگی در طول دوره آماری ۱۳۹۰ تا ۱۳۹۲ مقدار شاخص فصلی بودن کاهش می‌یابد که این به دلیل کاهش ضربی تغییرات در داده‌های بارندگی در مناطق پرباران است. عموماً ضربی تغییرات بارندگی در مقادیر بارش‌های کم بسیار بیشتر از بارش‌های زیاد بوده و این موضوع درباره مقادیر شاخص فصلی بودن (SI) نیز صدق می‌کند. والش و لاولر (۱۹۸۱) نیز به نتایج مشابهی رسیده‌اند.

نمودار تغییرات شاخص فصلی بودن بارندگی در ایستگاههای باران‌سنجدی منتخب اردبیل در شکل ۴ نشان داده شده است. با توجه به نتایج شکل ۴، فصلی بودن بارندگی در بیشتر ایستگاهها روند کاهشی دارد و از بین ۲۸ ایستگاه مطالعه شده، ایستگاههای سامیان، ابربکو، آتشگاه، بقرآباد، توتونسین، سنین، سرعین، شمشیرخانی و نیارق روند افزایشی و نوزده ایستگاه روند کاهشی دارند. در این زمینه تومویز و همکاران (۲۰۰۲) نیز روند کاهشی بارش زمستانی را در ایستگاههای باران‌سنجدی ایتالیا گزارش کرده‌اند. گوهاتاکورتا و ساجی (۲۰۱۳) در بیش از نیمی از ایستگاههای باران‌سنجدی ماهاراشترا روند مثبت معناداری را در مقدار SI مشاهده کردند. همچنین پریور و شوف (۲۰۰۸) با محاسبه شاخص فصلی بودن (SI) به این نتیجه رسیدند که متوسط شاخص فصلی بودن در بیشتر ایستگاهها تفاوتی ندارد.

در مجموع تعیین ویژگی فصلی بودن بارندگی و تغییرات آن نشانه‌ای از تغییر در الگوی زمانی متغیرهای اقلیمی متأثر از تغییر اقلیم است؛ علاوه بر این تعیین توزیع زمانی مقادیر بارش در ماهها و فصول مختلف سال امکان پیش‌بینی تغییر در بیلان آب، تعیین الگوی کشت یا در مقیاس زمانی کوچک‌تر پیش‌بینی سیلاب و خشکسالی را فراهم می‌کند.

منابع

- ۱- امیری، رضوان، (۱۳۸۶)، **تحلیل و پیش‌بینی نوسانات بارش در شهرستان خرم‌آباد با استفاده از مدل زنجیره مارکوف**، پایان‌نامه کارشناسی ارشد اقلیم‌شناسی، استاد راهنمای: سلیقه، محمد، دانشگاه تربیت معلم، گروه آموزشی جغرافیا.
- ۲- خلیلی، کیوان، ناظری نهرودی، محمد، احمدی، فرشاد، (۱۳۹۴)، **کاربرد شاخص PCI در بررسی الگوی بارش ایران و تحلیل روند تغییرات آن در مقیاس سالانه و فصلی طی نیم قرن اخیر**، نشریه آبیاری و زهکشی ایران، دوره ۹، شماره ۱، تهران، ۱۹۵-۲۰۸.
- ۳- فلاح قاله‌ری، غلامعباس، بیاتانی، فاطمه، (۱۳۹۲)، **بررسی روند تغییرات فصلی و سالانه بارش و دبی در حوزه آبخیز هلیل رود کرمان**، چهارمین همایش منطقه‌ای چالش‌ها و راهکارهای توسعه در مناطق محروم، کهنه‌وج، ۱۲ ص.
- ۴- مصطفی‌زاده، رئوف، ذیحی، محسن، ادهمی، مریم، (۱۳۹۶)، **تحلیل تغییرات زمانی و مکانی بارش ماهانه در استان گلستان به کمک بعد فرکتالی**، مهندسی و مدیریت آبخیز، دوره ۹، شماره ۱، تهران، ۴۵-۳۴.
- 5- Ayoade, J.O., (1970). **The seasonal incidence of rainfall**, Weather, Vol 25, Pp 414– 418.
- 6- Bari, S.H., Hussain, M.M., Husna, NEA., (2016). **Rainfall variability and seasonality in northern Bangladesh**, Theoretical and Applied Climatology, Vol 129 (3-4), Pp 995-1001.
- 7- Bronikowski, A., Webb, C., (1996). **A critical examination of rainfall variability measures used in behavioral ecology studies**, Behavioral Ecology and Sociobiology, Vol 39, Pp 27-30.

- 8- Goudie, A.S., (1983). **Environmental Change**, Clarendon Press, Oxford University Press, 2nd edition, New York.
- 9- Guhathakurta, P., Saji, E., (2012). **Trends and variability of monthly, seasonal and annual rainfall for the districts of Maharashtra and spatial analysis of seasonality index in identifying the changes in rainfall regime**, National Climate Centre, (1/2012), Pp 1-22.
- 10- Guhathakurta, P., Saji, E., (2013). **Detecting changes in rainfall pattern and seasonality index vis-a-vis increasing water scarcity in Maharashtra**, Journal of Earth System Science, Vol 122 (3), Pp 639-649.
- 11- Hamill, J., (1972). **Pan American Institute of Geography and History**, Revista Geografica, Vol 77, Pp 123-139.
- 12- Jakson, I.J., (1977). **Climate, Water and Agriculture in the Tropics**, Journal of Experimental Agriculture International, Vol 14 (3), Pp 248-290.
- 13- Kumar, S., (1975). **Regional variations in the seasonality of precipitation in Bangladesh**, Department of Geography, Vol 42 (1), Pp 68-72.
- 14- Kumar, S., Merwade, V., Kam, J., Thurner, K., (2009). **Stream flow trends in Indiana: Effects of long term persistence, precipitation and subsurface drains**, Journal of Hydrology, Vol 374, Pp 171-183.
- 15- Livada, I., Asimakopoulos, D.N., (2005). **Individual seasonality index of rainfall regimes in Greece**, Climate Research, Vol 28, Pp 155-161.
- 16- Markham, C.G., (1970). **Seasonality of precipitation in the United States**, Annals of the Association of American Geographers, Vol 60 (3), Pp 593-597.
- 17- Mathbou, S., Lopez-Bustins, J.A., Vide, J.M., (2015). **Study of precipitation variability based on entropy and seasonality over the Eastern Mediterranean**, Journal of Geophysical Research, Vol 17, Pp 935-942.
- 18- Nieuwolt, S., (1974). **Seasonal rainfall distribution in Tanzania and its cartographic representation**, Journal of Geographical Sciences, Vol 28 (3), Pp 186-194.
- 19- Patil, M.K., (2015). **Change in seasonality index of rainfall in sangli District**, Indian Streams Research Journal, Vol 5 (1), Pp 1-7.
- 20- Pryor S.C., Schoof Justin, T., (2008). **Changes in the Seasonality of Precipitation over the Contiguous USA**, Journal of Geophysical Research, Vol 113, Pp 1-15.
- 21- Sharma, A., Bose, M., (2013). **Seasonality and Rainfall Prediction**, Seventh International Conference on Data Mining and Warehousing (ICDMW), Pp 145-150, Bangalore.
- 22- Stafford, J.M., Wendle, G., Curtis, J., (2000). **Tempreature and precipitation of Alaska: 50 year trend analysis**, Theoretical and Applied Climatology, Vol 67, Pp 33-44.
- 23- Stoddart, D.R., Walsh, P.R.D., (1975). **Environmental variability and environmental extremes as factors in the island ecosystem**, 13th Pacific Science Congress, Vancouver.
- 24- Sumner, G., Homar, V., Ramis, C., (2001). **Precipitation seasonality in eastern and southern coastal Spain**, International Journal of Climatology, Vol 21, Pp 219-247.
- 25- Tomozeiu, R., Lazzeri, M., Cacciamani, C., (2002). **Precipitation flcuations during the winter season from 1960 to 1995 over Emilia-Romagna, Italy**, Theoretical and Applied Climatology, Vol 72, Pp 221-229.
- 26- Unkasevic, M., Radinovic, D., (2000). **Statistical analysi of daily maximum and monthly precipitation at Belgrade**, Theoretical and Applied Climatology, Vol 66, Pp 241-249.
- 27- Walsh R.P.D., Lawler, D.M., (1981). **Rainfall seasonality: description, spatial patterns and change through time (British Isles, Africa)**, Weather, Vol 36, Pp 201-208.